

ESCUELA DE INGENIERIA

cfm  
Ingeniería  
UNIVERSIDAD DE CHILE

**ESTUDIO EXPERIMENTAL DE CONEXIONES DE MOMENTO USANDO PERFILES T SOLDADOS**

Memoria para optar al título de Ingeniera Civil

**Constanza Carolina Salas Quintanilla**


Profesor Guía:  
Ricardo Antonio Herrera Mardones

Contenidos

cfm  
Ingeniería  
UNIVERSIDAD DE CHILE

1. Motivación.
2. Objetivos generales y específicos.
3. Diseño de especímenes.
4. Instrumentación de ensayo.
5. Resultados experimentales.
6. Conclusiones.
7. Bibliografía.

# Contenidos



1. Motivación.
2. Objetivos generales y específicos.
3. Diseño de especímenes.
4. Instrumentación de ensayo.
5. Resultados experimentales.
6. Conclusiones.
7. Bibliografía.

# Motivación




Diagram illustrating the motivation for the research:

```
graph LR; A["Terremoto de Northridge (1994)  
California, USA"] --> B["SAC Steel Project:  
Conexiones de momento"]; B --> C["FEMA 350 (2000):  
Conexión DST  
(Double Split T)"]; D["Falla frágiles en edificios de marco rígido"] --- A; E["Recomendaciones de diseño sísmico para nuevos edificios de marco rígido"] --- C;
```

The diagram shows a flow from the Northridge earthquake (1994) in California, USA, to the SAC Steel Project on moment connections, and then to FEMA 350 (2000) on DST (Double Split T) connections. A note indicates that the Northridge earthquake caused brittle failures in rigid frame buildings, and FEMA 350 provides seismic design recommendations for new rigid frame buildings.

# Motivación

Ingeniería  
UNIVERSIDAD DE CHILE

## Conexión DST

- o Conexión de momento.
- o *Apernada*.
- o "Full strength".
- o *Parcialmente restringida*.

FEMA 350

↓

Investigación llevada a cabo con T-stubs laminados.

↓

Perfiles T soldados

- ✓ Mayor disponibilidad.
- ✓ Libertad de dimensionamiento.

# Motivación

Ingeniería  
UNIVERSIDAD DE CHILE

## Línea de Investigación

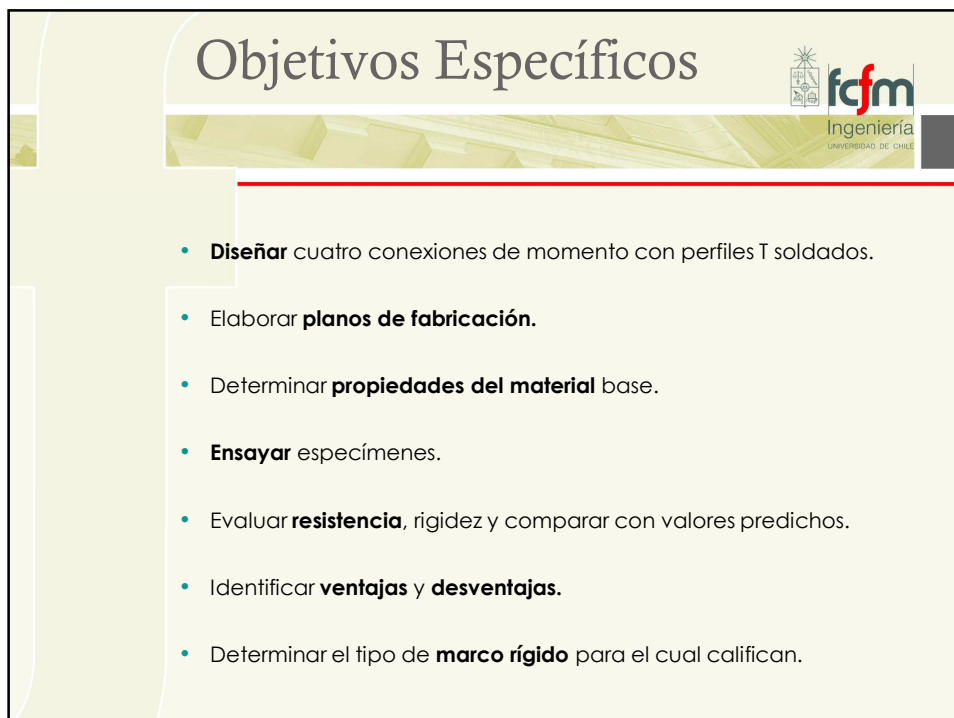
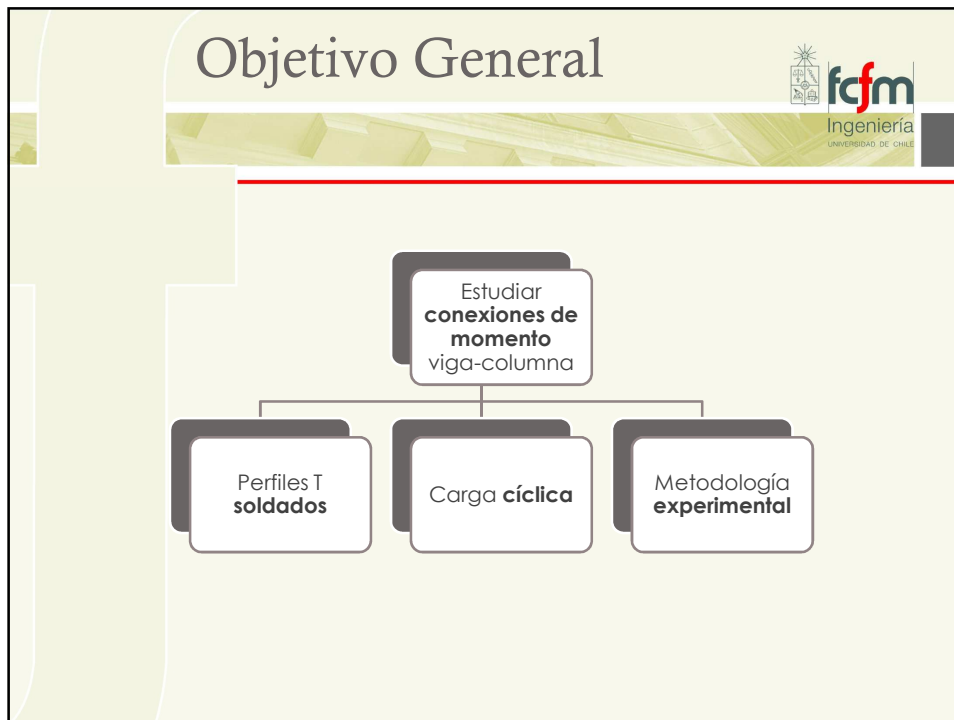
Chile

Perfiles T soldados → Conexiones con perfiles T soldados


Desjouis, G. (2006)	Núñez, A. (2016)
Gómez, G. (2008)	Alarcón, C. (2016)
Aedo, G. (2009)	Salas, C. (2016)
Muñoz, L. (2012)	Arrau, J.C. (2017)
Bravo, M. (2013)	

FONDECYT  
 Fondo Nacional de Desarrollo Científico y Tecnológico

PROYECTO N° 1140628




# Contenidos



1. Motivación.
2. Objetivos generales y específicos.
- 3. Diseño de especímenes.**
4. Instrumentación de ensayo.
5. Resultados experimentales.
6. Conclusiones.
7. Bibliografía.


# Diseño de especímenes



Especímen	Característica	Descripción de la falla
SE-01	"Conexión débil"	Plastificación de las <b>alas de los T-stubs</b> .
SE-02	"Viga débil"	Formación de <b>rótulas plásticas en la viga</b> .
SE-03	"Zona panel débil"	Plastificación de la <b>zona panel</b> .
SE-04	"Falla balanceada"	Plastificación de la <b>zona panel</b> + formación de <b>rótulas plásticas en la viga</b> .

SE: "Sistema Estructural".

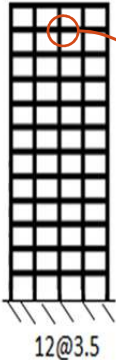
## Diseño de especímenes



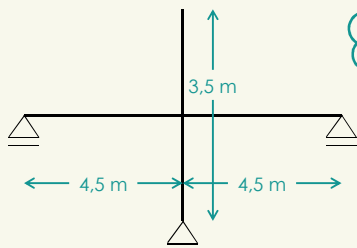
### Dimensiones Preliminares

Alarcón  
(2016)

- Edificio de marco rígido
- Habitacional
- 12 pisos




12@3.5

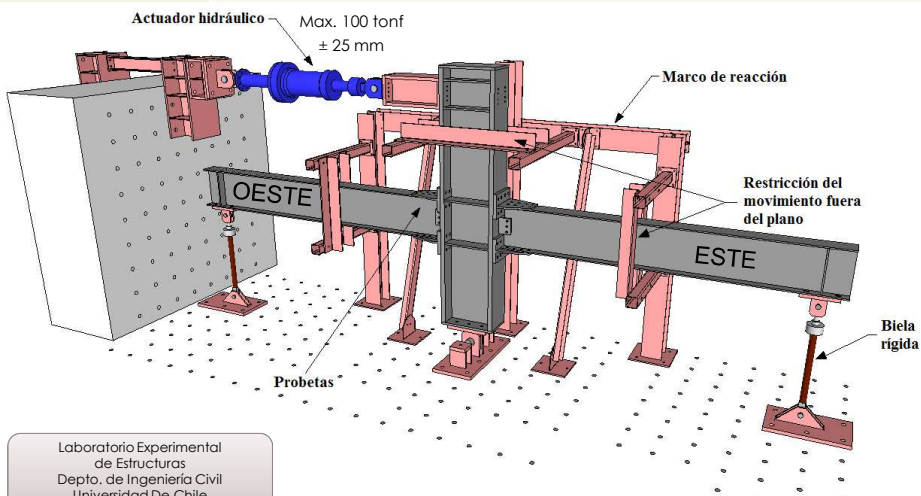


Columna  
**W36x194**  
( $d_b=927$  mm)

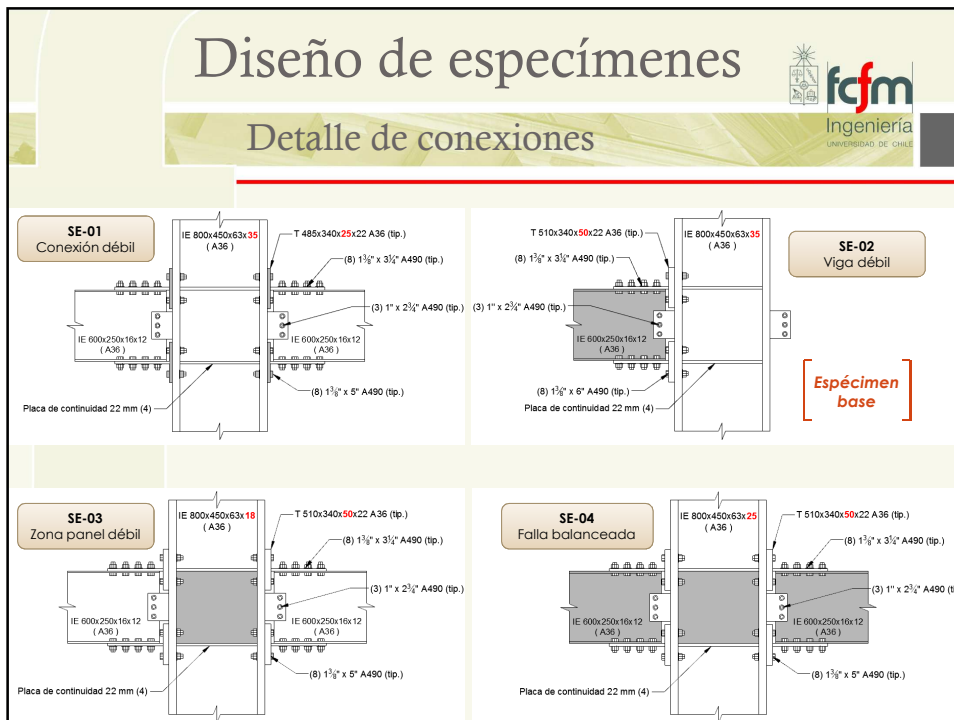
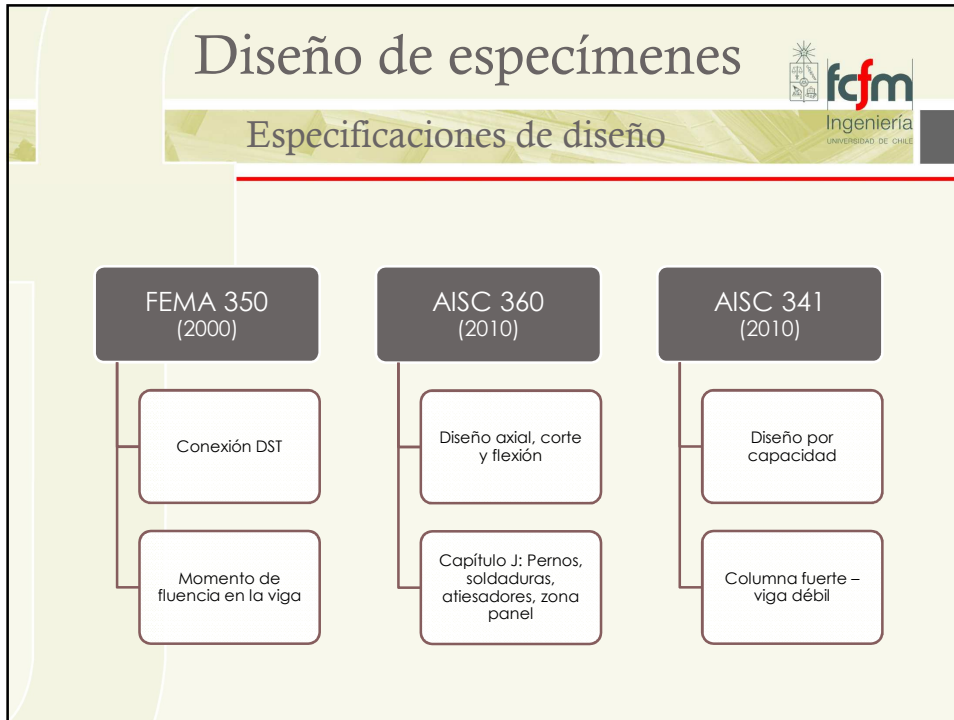
Vigas  
**W24x84**  
( $d_b=612$  mm)

## Diseño de especímenes






Laboratorio Experimental de Estructuras  
Depto. de Ingeniería Civil  
Universidad De Chile




# Contenidos



1. Motivación.
2. Objetivos generales y específicos.
3. Diseño de especímenes.
- 4. Instrumentación de ensayo.**
5. Resultados experimentales.
6. Conclusiones.
7. Bibliografía.

# Instrumentación de ensayo

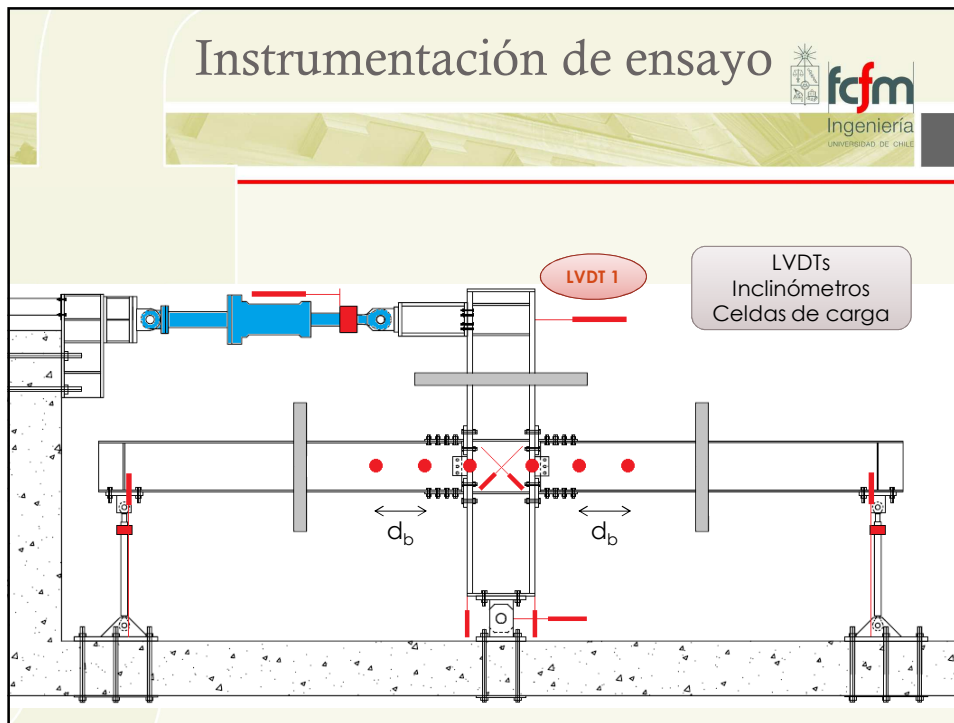
## ¿Qué se desea medir?




- Curvas **P- $\Delta$**
- Curvas **M- $\theta$**
- Curvas **V- $\gamma$**

Desplazamiento entre piso y en apoyos	}	→	LVDTs
Deformación de la zona panel			
Rotación total en la viga y conexión	→	Inclinómetros	
Fuerza aplicada por actuador	}	→	Celdas de carga
Reacción en apoyo de vigas			

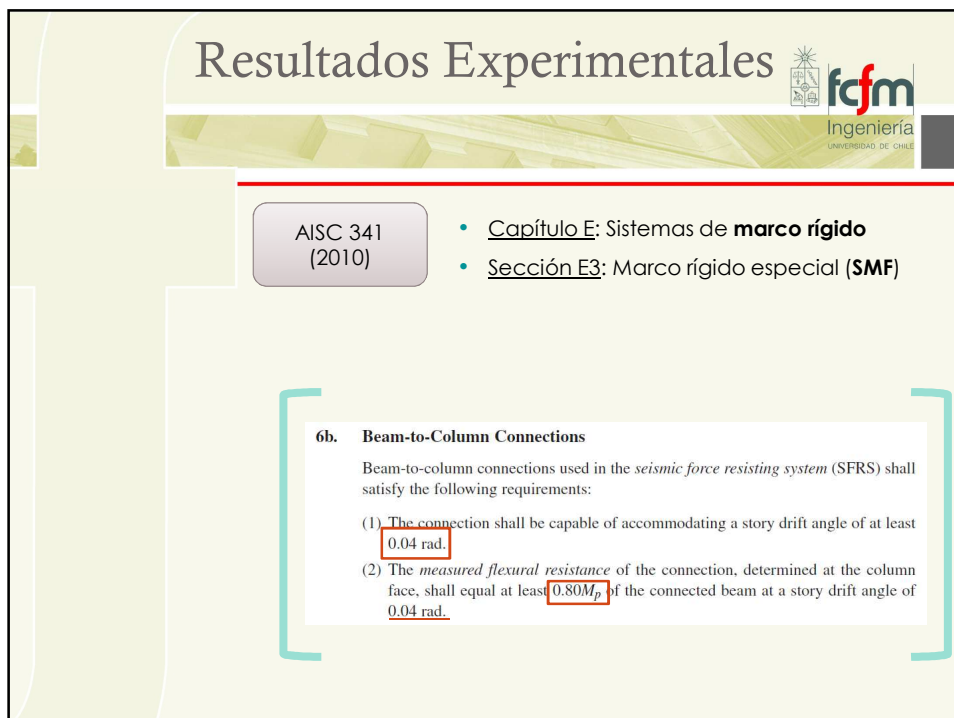
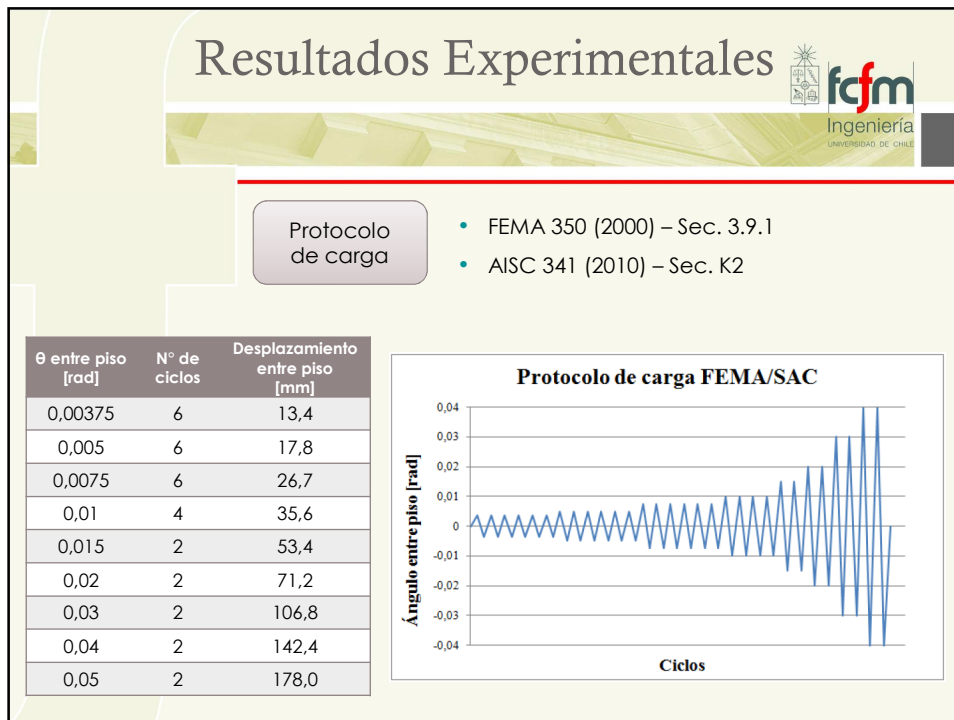





## Contenidos



1. Motivación.
2. Objetivos generales y específicos.
3. Diseño de especímenes.
4. Instrumentación de ensayo.
5. **Resultados experimentales.**
  - SE-01
  - SE-02a
  - SE-02b
6. Conclusiones.
7. Bibliografía.



Resultados Experimentales 

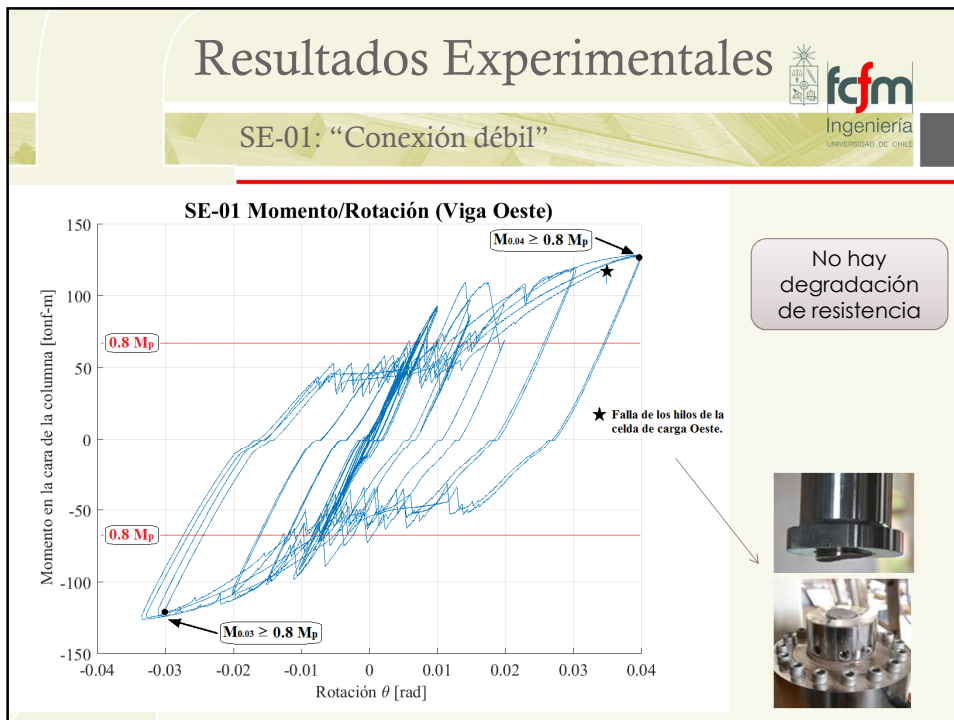
ENSAYO  
SE-01  
*“Conexión débil”*

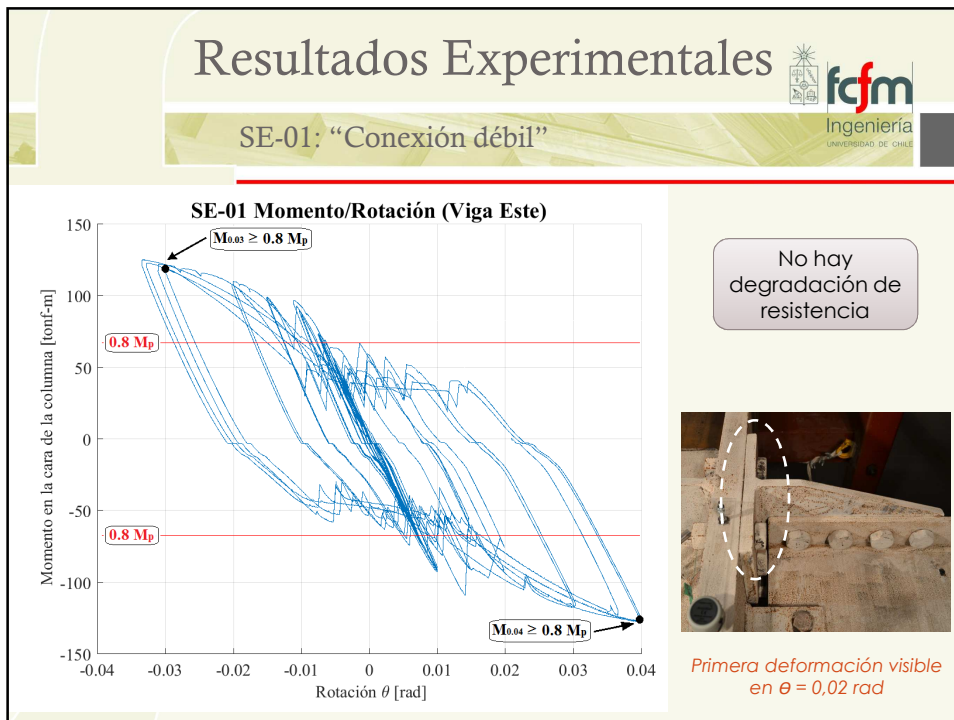
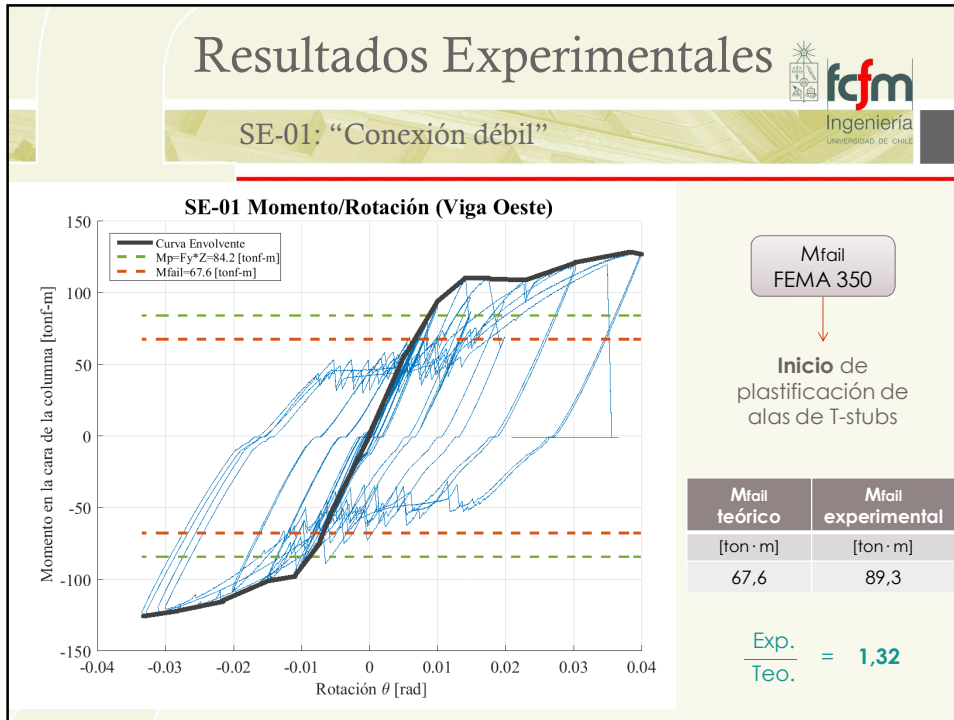
Resultados Experimentales 

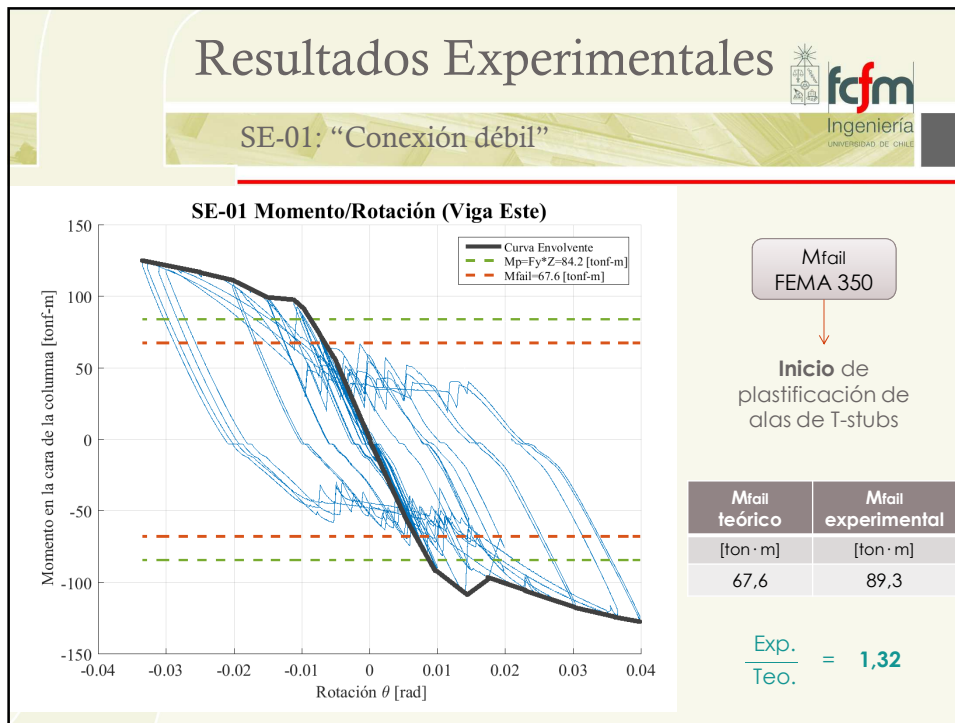
SE-01: “Conexión débil”








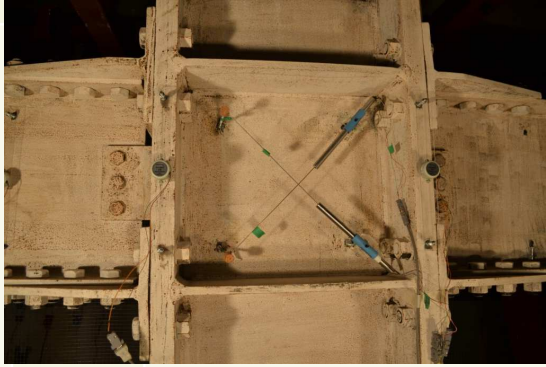




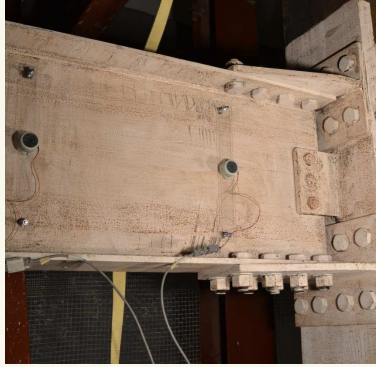
Resultados Experimentales 

SE-01: "Conexión débil"

$\theta = 0,03 \text{ rad}$



Efecto de apalancamiento en T superior-este  
y T inferior-oeste ( $\theta = 0,03 \text{ [rad]}$ )



Inicio de fluencia en las vigas  
( $\theta = 0,03 \text{ [rad]}$ )

Resultados Experimentales 

SE-01: "Conexión débil"



Viga ESTE adelante y atrás  
(Post-ensayo)



Viga OESTE  
(Post-ensayo)



Resultados Experimentales 

SE-01: "Conexión débil"


---



*T-stub inferior oeste  
(Post-ensayo)*




*T-stub inferior este  
(Post-ensayo)*


Resultados Experimentales 

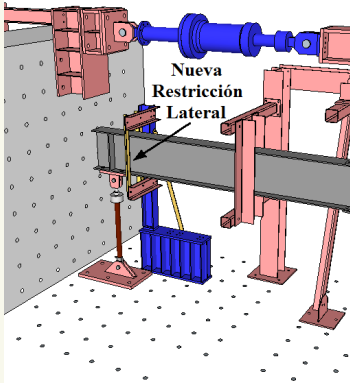
SE-01: "Conexión débil"

---




*Volcamiento notorio  
( $\theta=0,04$  [rad])*







**Nueva Restricción Lateral**

Resultados Experimentales 

ENSAYO  
SE-02(a)  
*“Viga débil”*

Resultados Experimentales 

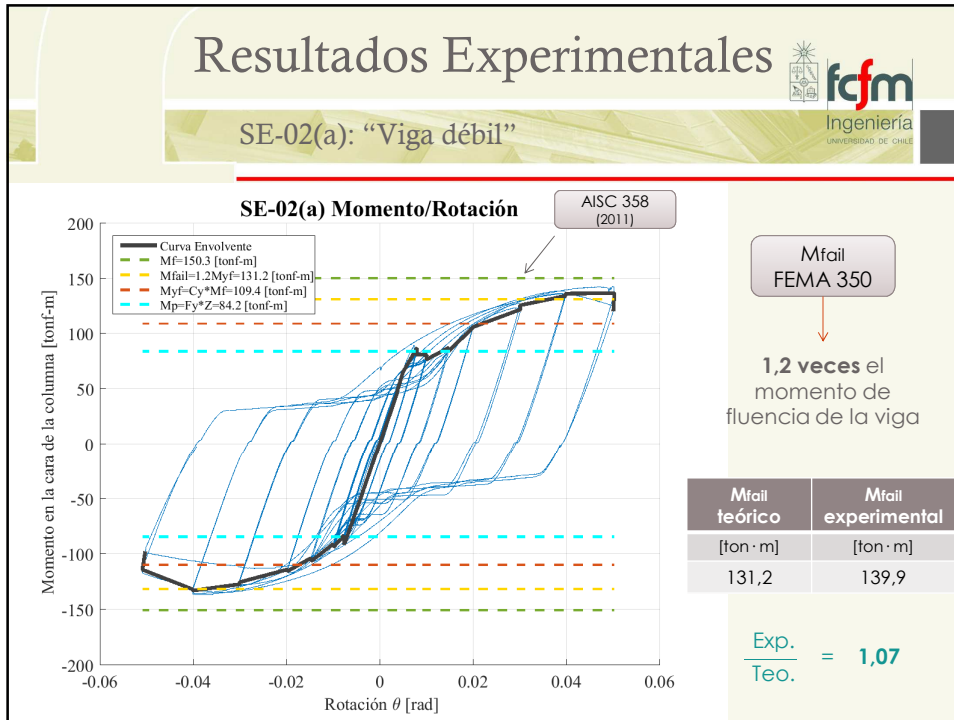
SE-02(a): *“Viga débil”*

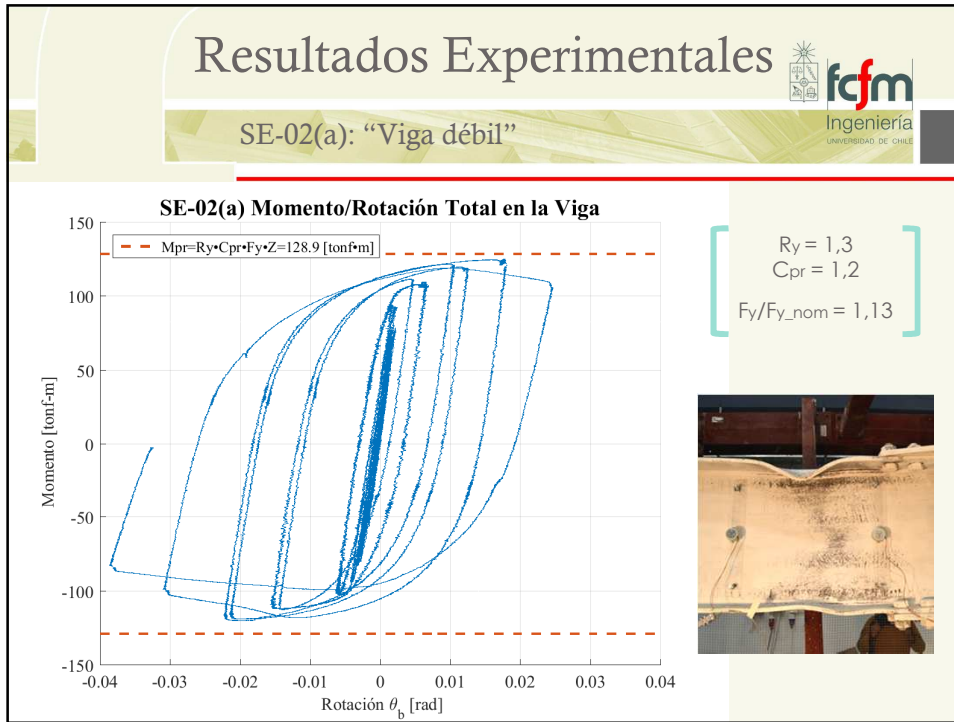


CJP









## Resultados Experimentales

SE-02(a): "Viga débil"

$\theta = 0,04$  rad



Inicio de pandeo local en alas de viga  
( $\theta = 0,04$  [rad] - ciclo 2)

## Resultados Experimentales

SE-02(a): "Viga débil"

$\theta = 0,05$  rad



Pandeo local en alas y alma de viga  
( $\theta = 0,05$  [rad] - ciclo 1)

## Resultados Experimentales



SE-02(a): "Viga débil"

 $\theta = 0,05$  rad

Rótula plástica  
( $\theta = 0,05$  [rad] - ciclo 2)

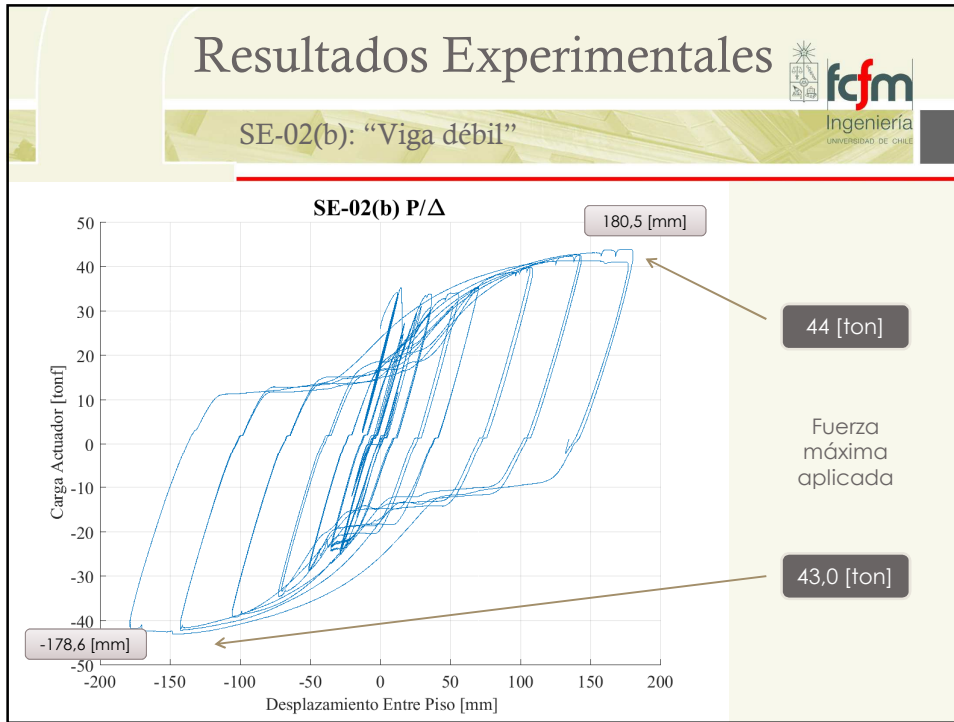
## Resultados Experimentales



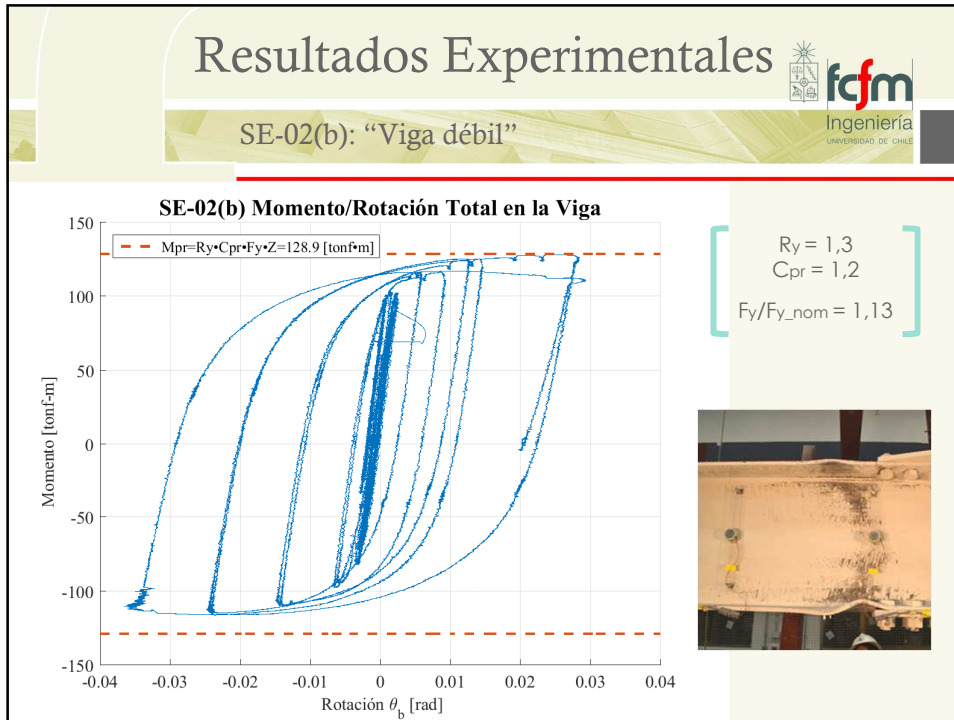
ENSAYO  
SE-02(b)  
*"Viga débil"*











## Resultados Experimentales

SE-02(b): "Viga débil"

$\theta = 0,02$  rad



Estado de viga para  $\theta = 0,02$  [rad]

fcfm Ingeniería UNIVERSIDAD DE CHILE

## Resultados Experimentales

SE-02(b): "Viga débil"

$\theta = 0,03$  rad



Estado de viga para  $\theta = 0,03$  [rad]

fcfm Ingeniería UNIVERSIDAD DE CHILE

Resultados Experimentales 

SE-02(b): "Viga débil" Ingeniería  
UNIVERSIDAD DE CHILE

$\theta = 0,04 \text{ rad}$




*Inicio de pandeo local en alas de viga para  $\theta = 0,04$  [rad]*

Resultados Experimentales 

SE-02(b): "Viga débil" Ingeniería  
UNIVERSIDAD DE CHILE

$\theta = 0,04 \text{ rad}$




## Resultados Experimentales

SE-02(b): "Viga débil"

$\theta = 0,05$  rad



*Pandeo local en alas y alma de viga para  $\theta = 0,05$  [rad] – ciclo 1*

## Resultados Experimentales

SE-02(b): "Viga débil"

$\theta = 0,05$  rad



*Deformación en la viga para  $\theta = 0,05$  [rad] – ciclo 2*

## Resultados Experimentales

SE-02(b): "Viga débil"

$\theta = 0,05$  rad → ¡Falla!



*Inicio de fractura del área neta de la viga en ala superior de la viga  
 $\theta = 0,05$  [rad] – ciclo 2*

fcfm  
Ingeniería  
UNIVERSIDAD DE CHILE

## Resultados Experimentales

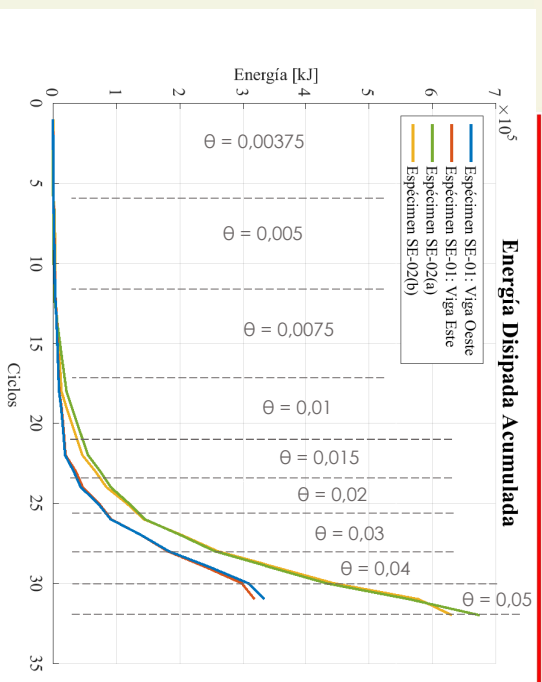
Energía Disipada Acumulada

Rigidez Secante

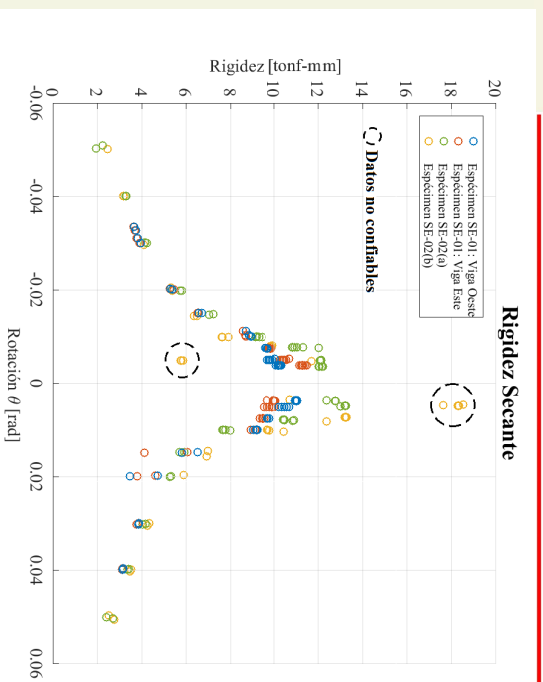
fcfm  
Ingeniería  
UNIVERSIDAD DE CHILE




# Resultados Experimentales



# Resultados Experimentales



# Resultados Experimentales



Soldadura


# Resultados Experimentales



Soldaduras en perfiles T sin daño visible ✓




# Contenidos




1. Motivación.
2. Objetivos generales y específicos.
3. Diseño de especímenes.
4. Instrumentación de ensayo.
5. Resultados experimentales.
- 6. Conclusiones.**
- 7. Bibliografía.**

# Conclusiones




- Diseño
  - Se logró de manera satisfactoria, pues en los ensayos **controló** el estado límite predicho.
  - **Diferencias de criterio** para la capacidad de la viga entre FEMA (1,2·M<sub>yf</sub>) y AISC (M<sub>f</sub>) → M<sub>f</sub> más conservador.
  - Se prescindió la aplicación de **carga axial** en la columna, pues la fuerza que se debía aplicar según diseño de Alarcón (2016) no superaría en más de un 3% a la capacidad a compresión de la columna.
- Planos de fabricación
  - **Buena confección**, pues especímenes fueron fabricados correctamente.
  - Etapa decisiva en el dimensionamiento final.
  - Importante **verificar** espesores disponibles en el mercado.

# Conclusiones




- Propiedades del material base
  - Determinadas con éxito mediante ensayos.
  - ASTM **A36** Tensión de fluencia =  $1,13 \cdot F_y \text{ min}$   
Resistencia a tracción =  $1,12 \cdot F_u \text{ min}$
  - ASTM **A490** Tensión de fluencia =  $1,22 \cdot F_y \text{ min}$   
Resistencia a tracción =  $1,20 \cdot F_u \text{ min}$
- Etapa experimental
  - Es importante revisar piezas al momento del despacho: verificar que cumplan con dimensiones, posición de perforaciones y calce entre ellas → Evita demoras en caso de rectificaciones.

# Conclusiones




- Resultados de ensayos
  - Especímenes ensayados **respondieron según lo pronosticado** por el diseño a partir de FEMA y de AISC, en cuanto al estado límite que predominó.
  - Los tres especímenes **cumplieron con los requerimientos para SMF** según AISC 341, pues fueron capaces de sostener una deformación angular entre piso de 0,04 rad, alcanzando una capacidad a flexión significativamente mayor que  $0,8 \cdot M_p$ .
  - Diseñar la conexión para que controle la formación de **rótulas plásticas** en las vigas garantiza una **mayor disipación de energía** que cuando controla la plastificación en alas de T-stubs.

## Conclusiones



- Ventajas de conexión DST con perfiles T soldados
  - Perfiles soldados → mayor libertad para escoger espesores de plancha de un perfil que los laminados.
  - Montaje no requiere soldadura en terreno.
  - Aleja la ocurrencia de rótulas plásticas de la columna, por lo tanto, no compromete la estabilidad de piso.
  - Ningún tipo de soldadura empleado en la fabricación de los T-stubs presentó daño visible alguno.
- Desventajas de conexión DST con perfiles T soldados
  - Rotación relativa entre vigas y columnas conectadas no es despreciable → se debe incluir en modelos.

## Conclusiones



- Recomendaciones para futuras investigaciones
  - Utilizar equipos en buen estado durante ensayos.
  - Mejorar la forma de fijación de los sensores para evitar pérdidas de datos experimentales.
  - Evaluar el desempeño de esta conexión con la columna sometida a carga axial significativa.
  - Implementar otras fuentes de análisis: fotogrametría o *strain gages* para analizar en detalle la respuesta de cada elemento.

*Se marca un precedente sobre ensayos de conexiones de acero a esta escala en Chile*


## Bibliografía



---

1. AISC, 360-10. 2010a. Specification for Structural Steel Buildings, American Institute of Steel Construction. Chicago, IL, USA.
2. AISC, 341-10. 2010b. Seismic Provisions for Structural Steel Buildings. American Institute of Steel Construction. Chicago, IL, USA.
3. AISC, 358-10. 2011. Prequalified Connections for Special and Intermediate Steel Moment Frames for Seismic Applications. American Institute of Steel Construction. Chicago, IL, USA.
4. Alarcón, C. "Estudio numérico de conexiones DBT (Double Built-Up Tee) para Marcos de Momento Sismo Resistentes" Tesis para optar al Título de Magíster en Ingeniería Sísmica, Universidad de Chile, Santiago, Chile, 2016 (en preparación).
5. ASTM, A36/A36M-08. 2008. Standard Specification for Carbon Structural Steel. ASTM International, West Conshohocken, PA, USA.
6. ASTM, A490M-10. 2010. Standard Specification for Carbon High-Strength Steel Bolts, Classes 10.9 and 10.9.3, for Structural Steel Joints (Metric). ASTM International, West Conshohocken, PA, USA.
7. ASTM, E8/E8M-15a. 2015. Standard Test Methods for Tension Testing of Metallic Materials. ASTM International, West Conshohocken, PA, USA.
8. Bravo, M. "Estudio analítico experimental de perfiles T soldados sometidos a carga cíclica" Tesis para optar al Título de Magíster en Ingeniería Sísmica, Universidad de Chile, Santiago, Chile, 2013.
9. Desjouis, G. "Estudio analítico de conexiones de momento viga-columna usando perfiles T soldados" Memoria para optar al Título de Ingeniero Civil, Universidad de Chile, Santiago, Chile, 2006.

## Bibliografía



---

10. FEMA, 350. 2000. Recommended Seismic Design Criteria for New Steel Moment-Frame Buildings, Federal Emergency Management Agency, Washington DC, USA.
11. Girão Coelho A., Biljaard F. Gresnigt N., and Simoes Da Silva L. 2004. Experimental assessment of the behavior of bolted T-stub connections made up of welded plates. Journal of Constructional Steel Research 60: 269-311.
12. Herrera, R.A., Gomez, G., and Sarrazin, M. 2009. Design and behavior of welded T-stubs for DST connections. Proceedings of the 6th International Conference on Behaviour of Steel Structures in Seismic Areas, Philadelphia, Pennsylvania.
13. Núñez, A. "Diseño, fabricación y montaje de una instalación experimental para el ensayo de conexiones" Memoria para optar al Título de Ingeniero Civil, Universidad de Chile, Santiago, Chile, 2016.
14. Piluso V., Faella C., and Rizzano G. 2001b. Ultimate Behaviour of Bolted T-Stubs. II: Model Validation. Journal of Structural Engineering 127(6): 694-704.
15. RCSC. 2014. Specification for Structural Joints Using High-Strength Bolts. Research Council On Structural Connections, Chicago, IL, USA.
16. Smallidge, J. "Behavior of Bolted Beam-to-Column T-Stub Connections Under Cyclic Loading" Thesis to obtain the Degree Master of Science in Civil Engineering, Georgia Institute of Technology, Atlanta, GA, USA.
17. Swanson, J.A., and Leon, R.T. 2000. Bolted Steel Connections: Tests On T-Stub Components. Journal of Structural Engineering 126(1): 50-56.
18. Tamboli, A.R. 2010. Handbook of Structural Steel Connection Design and Details. 2nd Edition. New York, NY: McGraw Hill.